

09

Управление градиентными фазовыми распределениями в модели активной антенной решетки с локальными связями между элементами

© К.Г. Мишагин, В.Д. Шалфеев

Нижегородский государственный университет им. Н.И. Лобачевского
E-mail: mishagin@rf.unn.ru

Поступило в Редакцию 18 мая 2006 г.

Представлены результаты теоретического исследования синхронного режима с градиентным фазовым распределением и возможности управления таким распределением в цепочке генераторов, локально связанных между собой с помощью колец фазовой автоподстройки. Показана возможность управления стационарными градиентными распределениями фаз за счет свойств коллективной динамики. В качестве управляющих параметров выступают собственные частоты генераторов и величины связей. Предлагаемый принцип управления, основанный на нелинейной динамике связанных колец фазовой автоподстройки, может быть использован при решении задач фазирования и управления поворотом диаграммы направленности в решетках излучателей разного частотного диапазона.

PACS: 07.57.-c, 11.10.-z, 84.40.Ва

В последнее время особый интерес вызывают прикладные задачи нелинейной динамики, в частности задача о синхронизации и фазировании в решетках активных излучателей, динамика которых может быть описана с помощью модели связанных осцилляторов. Работа [1] является одной из первых работ, в которых был продемонстрирован эффект управления поворотом диаграммы направленности, с помощью манипулирования синхронным режимом в ансамбле локально-связанных осцилляторов. Теоретическое описание данного эффекта было осуществлено на основе изучения фазовой модели осцилляторов со слабыми локальными связями [2].

В данной работе для решения задачи синхронизации и управления поворотом диаграммы направленности предлагается использование кол-

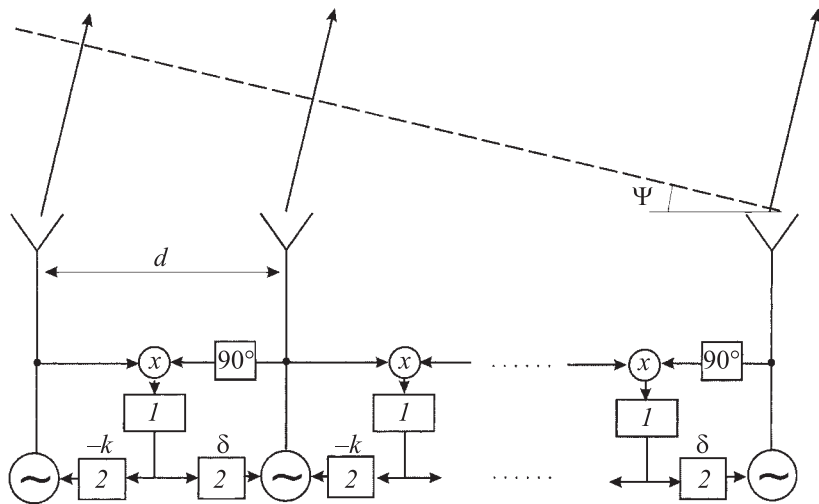


Рис. 1. Схема активной антенной решетки со специальными связями между элементами: 1 — фильтр низких частот, 2 — управляющий элемент.

лективной динамики колец фазовой автоподстройки частоты [3,4]. Эта идея уже обсуждалась в работах [4,5], в работе [6] представлен экспериментальный результат по управлению диаграммой направленности в антенной системе из двух генераторов, связанных с помощью цепи фазовой автоподстройки. Организация специальных связей через сигналы фазовых рассогласований между генераторами дает ряд преимуществ. Известно, что кольца фазовой автоподстройки реализуются как для слабых, так и для мощных генераторов и усилителей разных частотных диапазонов, включая оптический диапазон [7]. Организация связей с помощью колец фазовой автоподстройки позволяет использовать величины связей в качестве управляющих параметров [4]. В работе изучается возможность управления стационарными градиентными фазовыми распределениями в модели цепочки локально-связанных фазоуправляемых генераторов, а также исследуются проблемные вопросы, касающиеся времени установления синхронного режима и влияния случайной расстройки параметров системы на точность фазирования.

Рассмотрим схему активной антенной решетки, состоящей из цепочки локально-связанных генераторов (рис. 1). Генераторы связаны между собой через сигналы фазовых рассогласований, которые получаются в результате перемножения высокочастотных сигналов и прохождения через фильтр низких частот. Далее сигнал поступает на управляющий элемент, который изменяет частоту генератора пропорционально входному напряжению, при этом допустим, что частота управляемого генератора может изменяться в пределах $[\omega_n^0 - 2\Omega, \omega_n^0 + 2\Omega]$ (ω_n^0 — частота генератора с номером n при нулевом напряжении на входе управляющего элемента). Пусть Φ_n — фаза колебаний на выходе n -го генератора ($1 \leq n \leq N$). Представим уравнения, описывающие динамику фаз управляемых генераторов [3,4], в переменных разности фаз $\varphi_n = \Phi_n - \Phi$, отсчитываемых относительно вращающейся с постоянной частотой ω фазы Φ ($d\Phi/dt = \omega = \text{const}$):

$$p\varphi_n + K(p)[k \sin(\varphi_n - \varphi_{n+1}) + \delta \sin(\varphi_n - \varphi_{n-1})] = \gamma_n, \quad n = \overline{1, N},$$

$$\varphi_0 = \varphi_1, \quad \varphi_{N+1} = \varphi_N, \quad (1)$$

где $p = d/d\tau$ — оператор дифференцирования; $\tau = \Omega t$ — безразмерное время; $K(p)$ — коэффициент передачи фильтра; $\gamma_n = (\omega_n^0 - \omega)/\Omega$ — относительная начальная расстройка частоты n -го генератора; k, δ — величины связи ($0 \leq k \leq 1, 0 \leq \delta \leq 1$). Для формирования диаграммы направленности антенной решетки необходимо, чтобы все генераторы в узлах были синхронизованы, при этом главный лепесток диаграммы направленности будет отклонен от направления нормали к плоскости антенны на фиксированный угол Ψ (рис. 1), если имеет место градиентное распределение фаз

$$\varphi_n - \varphi_{n-1} = -2\pi \frac{d}{\lambda} \sin \Psi = \theta, \quad n = \overline{2, N}, \quad (2)$$

где d — пространственный период решетки, λ — длина волны излучения.

Режиму синхронизации в системе (1) с градиентным распределением фаз (2) соответствует состояние равновесия, которое существует, если выполняются следующие соотношения:

$$\gamma_1 = -k \sin \theta, \quad \gamma_N = \delta \sin \theta, \quad \gamma_n = (\delta - k) \sin \theta, \quad n = \overline{2, N-1}. \quad (3)$$

Как видно из (3), для осуществления изменения фазового сдвига можно в равной степени управлять либо частотными расстройками при фиксированных параметрах связи, либо величинами связей при фиксированных частотных расстройках. Рассмотрим два крайних случая, когда связь в цепочке однонаправленная (например, $k = 0$, $\delta \neq 0$) и когда связь взаимная и симметричная ($k = \delta \neq 0$). В первом случае имеет место каскадное соединение фазоуправляемых генераторов, в котором первый элемент играет роль опорного генератора. Искомое решение (2) существует, когда первый элемент имеет нулевую частотную расстройку $\gamma_1 = 0$ ($\omega_1 = \omega$), а все остальные элементы имеют одинаковую расстройку по частоте $\gamma_n = \gamma$, $2 \leq n \leq N$, $|\gamma| < \delta$. Тогда наиболее простое управление осуществляется путем изменения начальной частоты первого генератора при фиксированных одинаковых начальных частотах остальных генераторов. Во втором случае искомое решение (2) существует, когда $\gamma_n = 0$, $2 \leq n \leq N - 1$, $\gamma_1 = -\gamma$, $\gamma_N = \gamma$, $|\gamma| < \delta$, т.е. расстройку по частоте имеют только генераторы на концах цепочки, остальные генераторы имеют начальную частоту, равную ω . Таким образом, для осуществления поворота диаграммы направленности достаточно управлять параметрами двух генераторов на концах цепочки. В обоих случаях все генераторы синхронизованы на частоте ω и разность фаз между соседними элементами определяется уравнением $\sin \theta = \gamma/\delta$.

Покажем локальную устойчивость состояния равновесия системы (1), соответствующего градиентному распределению фаз $\varphi_n = n \cdot \theta$, $1 \leq n \leq N$. При этом ограничимся случаем фильтра первого порядка в кольце управления с коэффициентом передачи $K(p) = 1/(1 + \varepsilon p)$ ($\varepsilon = \Omega T > 0$, T — постоянная времени фильтра). В результате линеаризации в окрестности состояния равновесия и перехода к нормальным координатам с помощью процедуры, описанной в [2], можно получить следующие характеристические показатели: $\lambda_1 = 0$, $\lambda_2 = -1/\varepsilon$, остальные $2N - 2$ характеристических показателя определяются:

$$\lambda_{n1,2} = -\frac{1}{2\varepsilon} \pm \frac{1}{2} \sqrt{\frac{1}{\varepsilon^2} - \frac{4 \cos \theta}{\varepsilon} \left(k + \delta - 2\sqrt{k\delta} \cos \frac{\pi n}{N} \right)}, \quad n = \overline{1, N-1}. \quad (4)$$

Из анализа характеристических показателей следует, что стационарное градиентное распределение фаз является устойчивым, если $\varepsilon > 0$, $\cos \theta > 0$. Таким образом, в рассмотренных выше двух частных случаях

устойчивому решению соответствует фазовый сдвиг $\theta = \arcsin(\gamma/\delta)$. Отметим, что градиентное решение является локально устойчивым во всей области существования синхронного режима, при этом в устойчивом синхронном режиме можно управлять сдвигом фаз между соседними элементами в пределах $-\pi/2 < \theta < \pi/2$. Такой предел изменения фазового сдвига является вполне приемлемым для осуществления управления поворотом диаграммы направленности в стандартных антенных решетках.

С точки зрения практического использования антенных решеток, фазирование в которых основано на организации специальных связей между элементами, критичным параметром является характерное время установления синхронного режима с необходимым фазовым распределением. В данной работе мы ограничимся линейной оценкой характерного времени установления синхронного режима: $\tau^* \sim 1/\min |\lambda_{n1,2}|$, где $\lambda_{n1,2}$ — характеристические показатели (4), при этом положим $\theta = 0$. В случае однонаправленной связи ($k = 0, \delta \neq 0$) характерное время установления синхронного режима во всей цепочке линейно пропорционально количеству элементов цепочки и времени установления стационарного режима в одиночном элементе, которое связано с параметром инерционности цепи управления ε , при $\varepsilon \gg 1$ справедливо $\tau^* \sim (N - 1) \cdot \varepsilon$. В случае симметричной взаимной связи ($k\delta \neq 0$) при $N < N_{th}$ $2\pi\varepsilon^{1/2}$ время переходного процесса $\tau^* \sim \varepsilon$ ($\varepsilon \gg 1$), при $N \gg N_{th}$: $\tau^* \sim N^2$. Как видно из оценок, время установления синхронного режима существенно зависит от количества элементов и вида связи, что необходимо учитывать при практической реализации таких систем. На рис. 2, а представлен результат численного расчета времени установления стационарного распределения фаз с точностью 10^{-3} в цепочке с симметричными взаимными связями.

Рассмотрим еще один важный с точки зрения приложений вопрос, касающийся точности фазирования при случайном разбросе управляющих параметров системы. Пусть в системе (1) частотные расстройки γ_n заданы с ошибкой относительно значений, точно соответствующих требуемому градиентному распределению фаз. Пусть ошибки независимы в каждом элементе, имеют гауссовское распределение с нулевым средним и дисперсией σ_γ^2 . Случайное распределение частотных расстроек приводит к некоторому случайному отклонению фаз от точного градиентного распределения: $\eta_n = \varphi_n - n \cdot \theta$. Для оценки точности

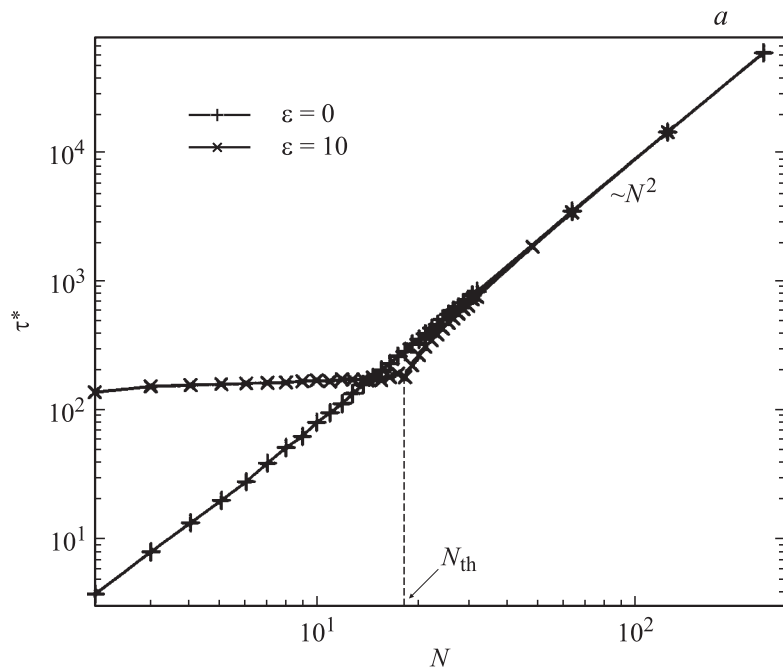


Рис. 2. Зависимость времени переходного процесса от размера цепочки при $k = \delta = 1$, $\gamma = 0$ (a); зависимость характеристики точности фазирования от размера цепочки при случайном разбросе начальных частотных расстройк генераторов с дисперсией $\sigma_\gamma^2 = 10^{-3}$, $\gamma = 0$ (b), 1 — $k = \delta = 1$, 2 — $k = 0$, $\delta = 1$, x — результаты численного счета.

фазирования рассмотрим следующий параметр порядка:

$$\langle \rho_\eta^2 \rangle = \frac{1}{N^2} \left\langle \left| \sum_{n=1}^N e^{i\eta_n} \right|^2 \right\rangle, \quad (5)$$

который имеет физический смысл нормированной средней интенсивности поля в точке максимума диаграммы направленности. В случае однонаправленной связи дисперсия фазовой ошибки линейно нарастает вдоль цепочки $\sigma_\eta^2(n) \approx (n-1)\sigma_\gamma^2 / \cos \theta$ и можно показать, что $\langle \rho_\eta^2 \rangle \approx 1 - \sigma_\gamma^2(N^2 - 1) / (6N \cdot \cos \theta)$. Выражение для параметра порядка (5)

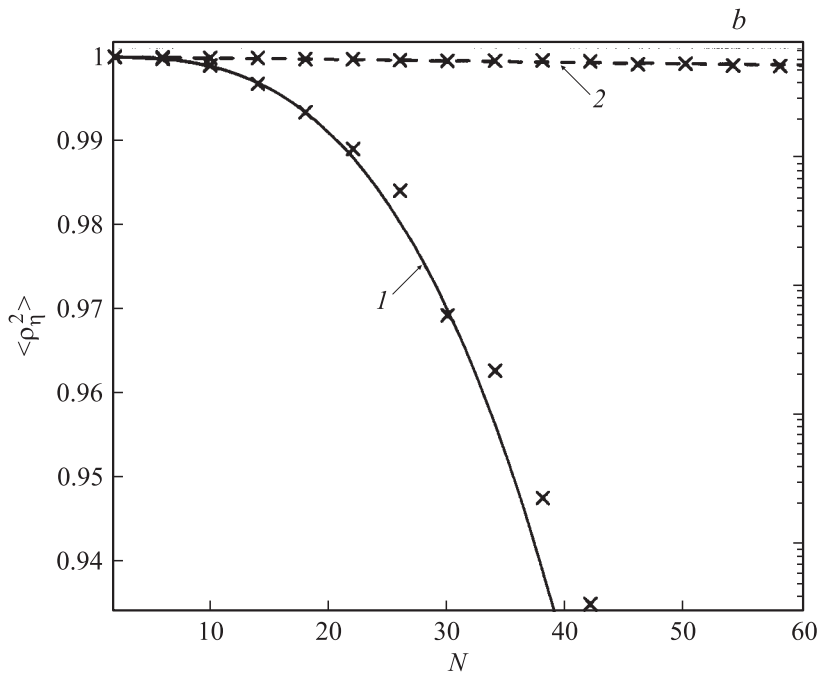


Рис. 2 (продолжение).

в случае цепочки с симметричными взаимными связями получается довольно громоздким и здесь не приводится. Численно и аналитически полученные зависимости параметра порядка от размера цепочки представлены на рис. 2, *b*. Можно отметить, что в обоих случаях имеет место ухудшение точности фазирования при увеличении размера цепочки. При этом параметр порядка для цепочки с взаимными связями нелинейно зависит от количества элементов и убывает качественно быстрее параметра порядка для цепочки с однонаправленной связью.

Таким образом, в работе показаны существование градиентных фазовых распределений и возможность управления такими распределениями в цепочке генераторов, локально-связанных с помощью колец фазовой автоподстройки. Показано, что характерное время установления синхронного режима с градиентным распределением фаз и

точность фазирования существенно зависят от количества элементов в цепочке и вида связи. Предлагаемый принцип управления, основанный на коллективной динамике связанных систем фазовой автоподстройки, представляется перспективным с точки зрения использования в задачах фазирования и управления поворотом диаграммы направленности в решетках излучателей разного частотного диапазона.

Работа выполнена при поддержке гранта РФФИ № 06-02-16499 и гранта поддержки ведущих научных школ НШ-7309.2006.2.

Список литературы

- [1] *Liao P., York R.A.* // IEEE Trans. Microwave Theory Tech. 1993. V. 31. N 10. P. 1810–1815.
- [2] *Heath T., Wiesenfeld K., York R.A.* // Int. J. Bifurcation and Chaos. 2000. V. 10. N 11. P. 2619–2627.
- [3] *Леонов Г.А., Смирнова В.Г.* Математические проблемы теории фазовой синхронизации. СПб.: Наука, 2000. 400 с.
- [4] *Афраймович В.С., Некоркин В.И., Осипов Г.В., Шалфеев В.Д.* Устойчивость, структуры и хаос в нелинейных сетях синхронизации / Под ред. А.В. Гапонова, М.И. Рабиновича. Горький, 1989.
- [5] *York R.A., Itoh T.* // IEEE Trans. Microwave Theory Tech. 1998. V. 46. N 11. P. 1920–1929.
- [6] *Martinez R.D., Compton R.C.* // IEEE Microwave and Guided Wave Letters. 1994. V. 4. N 6. P. 166–168.
- [7] *Mishagin K.G., Shalfeev V.D.* // Proceeding of SPIE Int.Symposium on Optics & Photonics. 31 July–4 August 2005. San Diego, USA. V. 5892. P. 477–485.